

Schienenverteiler-Systeme MR/MRf

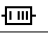

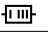

Aluminium/Kupfer

Best.Nr.		Gerades Element MR
AL 4 Leiter	CU 4 Leiter	- MR: 3 Phasen + Null, PE = Gehäuse - Leitermaterial: Aluminium, verzinkt - Abzweigöffnungen an festen Positionen
		Gerades Element mit Abzweigöffnungen 3 + 3
		Abzweigöffnung: 3 + 3 Länge: 3000 mm Abzweigöffnungen beidseitig
		In (A)
50400101		160
50400102	55400102	250
50400103	55400103	315
50400104	55400104	400
50400108		500
50400105	55400105	630
50400106	55400106	800
50400107	55400107	1000
		Gerades Element mit Abzweigöffnungen 5 + 0
		Abzweigöffnung: 5 + 0 Länge: 3000 mm Abzweigöffnungen einseitig, geeignet für Wandmontage
50400251		160
50400252	55400252	250
50400253	55400253	315
50400254	55400254	400
50400258		500
50400255	55400255	630
50400256	55400256	800
50400257	55400257	1000
		Gerades Element ohne Abzweigöffnungen
		Ohne Abzweigöffnungen Länge: 3000 mm
50400241		160
50400242	55400242	250
50400243	55400243	315
50400244	55400244	400
50400248		500
50400245	55400245	630
50400246	55400246	800
50400247	55400247	1000

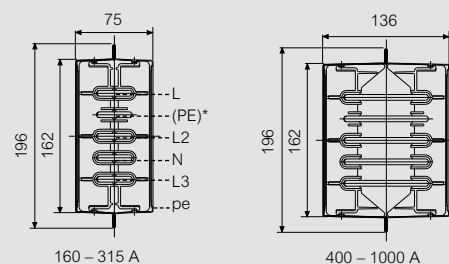
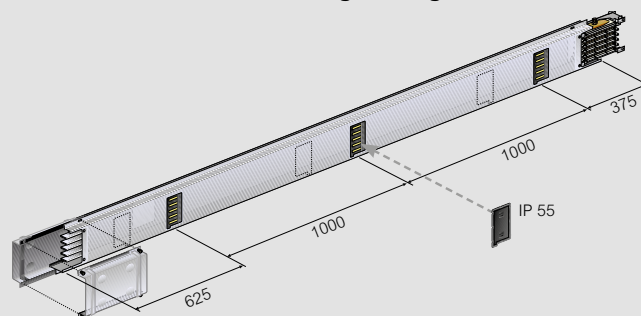
Gerades Element MRf/MR-P/MRf-P

- MRf: 3 Phasen + Null + PE
- MR-P: wie MR, Gehäuse lackiert
- MRf-P: wie MRf, Gehäuse lackiert

Tabelle Best.Nr.-Codierung

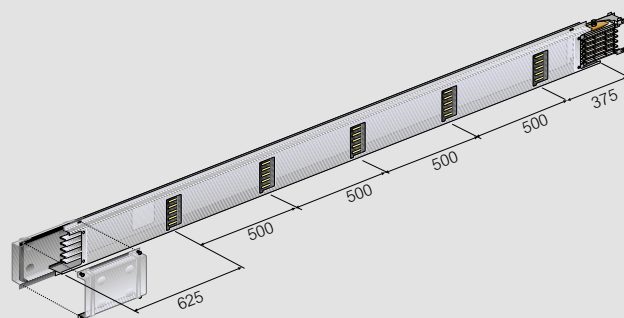
Leiter	Gehäuse	Best.Nr.-Code
MR  4	verzinkt	...0....
MRf  5	verzinkt	...1....
MR-P  4	lackiert	...2....
MRf-P  5	lackiert	...3....

Gerades Element mit Abzweigöffnungen 3 + 3

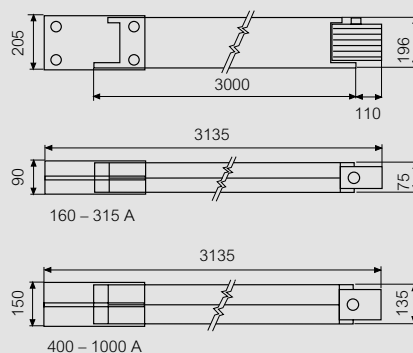
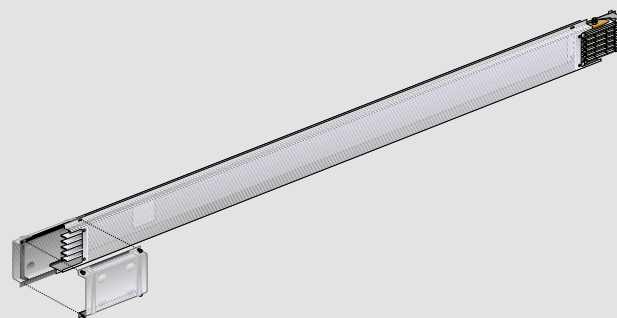


* nur für MRf

Gerades Element mit Abzweigöffnungen 5 + 0



Gerades Element ohne Abzweigöffnungen



Schienenverteiler-Systeme MR/MRf

Technische Informationen

MR Kupfer Schienenverteiler-Systeme

MR (3 L + N + PE)

Bemessungsstrom	I_n (A)	160 ¹⁾	250	315	400	500 ¹⁾	630	800	1000
Bemessungsbetriebsspannung	U_b (V)	-	1000	1000	1000	-	1000	1000	1000
Bemessungsisolationsspannung	U_i (V)	-	1000	1000	1000	-	1000	1000	1000
Netzfrequenz	f (Hz)	-	50/60	50/60	50/60	-	50/60	50/60	50/60
Bemessungskurzzeitstromfestigkeit (1 Sek.) (bei 3-Phasen-Kurzschluss)	I_{CW} (kA) _{rms}	-	25*	25*	30*	-	36	36	36
Max. thermische Belastung (bei 3-Phasen-Kurzschluss)	I^2t (A ² s x 10 ⁶)	-	63	63	90	-	1296	1296	1296
Bemessungsstromfestigkeit (bei 3-Phasen-Kurzschluss)	I_{pk} (kA)	-	53	53	63	-	76	76	76
Bemessungskurzzeitstromfestigkeit (1 Sek.) (bei Kurzschluss Phase/N)	I_{CW} (kA) _{rms}	-	15*	15*	18*	-	22	22	22
Bemessungsstromfestigkeit (bei Kurzschluss Phase/N)	I_{pk} (kA)	-	30	30	36	-	45	45	45
Bemessungskurzzeitstromfestigkeit (1 Sek.) (bei Kurzschluss Phase/PE)	I_{CW} (kA) _{rms}	-	15*	15*	18*	-	22	22	22
Bemessungsstromfestigkeit (bei Kurzschluss Phase/PE)	I_{pk} (kA)	-	30	30	36	-	45	45	45
Phasenwiderstand bei 20 °C	R_{20} (mΩ/m)	-	0,237	0,180	0,096	-	0,061	0,040	0,032
Phasenwiderstand in warmem Zustand (I_n , bij 40 °C)	R_t (mΩ/m)	-	0,320	0,243	0,129	-	0,082	0,053	0,043
Blindwiderstand der Phasen (50 Hz)	X (mΩ/m)	-	0,205	0,188	0,129	-	0,122	0,122	0,120
Widerstand des Nullleiters bei 20 °C	R_{n20} (mΩ/m)	-	0,237	0,180	0,096	-	0,061	0,040	0,032
Blindwiderstand des Nullleiters (50 Hz)	X_n (mΩ/m)	-	0,205	0,188	0,129	-	0,122	0,122	0,120
Widerstand des Schutzleiters	R_{PE} (mΩ/m)	-	0,336	0,336	0,336	-	0,279	0,279	0,279
Blindwiderstand des Schutzleiters (50 Hz)	X_{PE} (mΩ/m)	-	0,220	0,220	0,220	-	0,180	0,180	0,180
Widerstand des Fehlerstromkreises Ph/PE	$R_{Ph-Pe\ fault\ loop}$ (mΩ/m)	-	0,657	0,579	0,466	-	0,361	0,332	0,322
Blindwiderstand des Fehlerstromkreises Ph/PE (50 Hz)	$X_{RPh-N\ fault\ loop}$ (mΩ/m)	-	0,425	0,408	0,349	-	0,302	0,302	0,300
Widerstand des Fehlerstromkreises Ph/N	$R_{Ph-N\ fault\ loop}$ (mΩ/m)	-	0,558	0,423	0,225	-	0,143	0,093	0,074
Blindwiderstand des Fehlerstromkreises Ph/N (50 Hz)	$X_{RPh-N\ fault\ loop}$ (mΩ/m)	-	0,425	0,408	0,349	-	0,302	0,302	0,300
	ΔV (V/m/A)10 ⁻³ cosφ = 0.70	-	0,321	0,263	0,158	-	0,125	0,108	0,100
	ΔV (V/m/A)10 ⁻³ cosφ = 0.75	-	0,326	0,265	0,158	-	0,123	0,105	0,096
	ΔV (V/m/A)10 ⁻³ cosφ = 0.80	-	0,329	0,266	0,157	-	0,120	0,100	0,092
Spannungsverlust bei Verteilung (k)*	ΔV (V/m/A)10 ⁻³ cosφ = 0.85	-	0,329	0,264	0,154	-	0,116	0,095	0,086
	ΔV (V/m/A)10 ⁻³ cosφ = 0.90	-	0,327	0,260	0,149	-	0,110	0,088	0,079
	ΔV (V/m/A)10 ⁻³ cosφ = 0.95	-	0,319	0,251	0,141	-	0,101	0,077	0,068
	ΔV (V/m/A)10 ⁻³ cosφ = 1.00	-	0,277	0,210	0,112	-	0,071	0,046	0,037
Leistungsverlust bei I_n	P (W/m)	-	60	72	62	-	98	103	128
Brandlast	(kWh/m)	-	1,3	1,3	1,3	-	1,8	1,8	1,8
Gewicht	ρ (kg/m)	-	9,3	10,2	13,3	-	18,2	23,9	27,9
Abmessungen	H x B (mm)	-	75 x 196	75 x 196	75 x 196	-	135 x 196	135 x 196	135 x 196
Schutzgrad	IP***	-	55	55	55	-	55	55	55
Mechanische Beständigkeit des Gehäuses (Schlagfestigkeit)	IK	-	10	10	10	-	10	10	10

* Leistungsentnahme gleichmäßig über das gesamte System verteilt

** Werte bei 0,1 Sek.

1) 160 A und 500 A in Kupfer nicht verfügbar.

Reduktionsfaktor für Umgebungstemperatur

Umgebungstemperatur °C	15	20	25	30	35	40	45	50	55	60
K1-Faktor	1,15	1,12	1,08	1,05	1,025	1	0,975	0,95	0,93	0,89

Faktor für die Berechnung des Bemessungsstromes bei anderen Umgebungstemperaturen als 40 °C.

Kurzschlussfestigkeit der Zucchini-Schienenverteiler:

Absicherung des MR-Schienenverteiler-Systems mit Legrand DPX-Leitungsschaltern.

Das Schienenverteiler-System entspricht vollständig den folgenden Normen:

IEC/EN 61439-6

Das Produkt ist unter folgenden klimatischen Bedingungen einsetzbar:

- IEC 60068 2-11: Umweltprüfteil 2-11: Tests – Test Ka: Salznebel

- IEC 60068 2-30: Umweltprüfteil 2-30: Tests – Test Db:

Feuchte Wärme, zyklisch (12 h + 12 h Zyklus)

Alle isolierenden Kunststoffteile entsprechen der Norm IEC 60695-2 Glühdrahtprüfung und sind selbstlöschend V2 nach UL94.